

УДК 622.235.5+539.3+541.126

О ДИССИПАЦИИ ЭНЕРГИИ В ДИЛАТИРУЮЩИХ И НЕДИЛАТИРУЮЩИХ СРЕДАХ

С. Г. Артышев, С. З. Дунин, Е. Е. Ловецкий

(Москва)

Диссипация энергии взрыва в грунте рассматривалась в работах [1, 2]. В данной работе анализируется распределение различных видов энергии в зависимости от времени и расстояния с учетом возможности разуплотнения среды (явление дилатансии), она опирается на результаты работы [3], в которой решена задача о движении фронта ударной волны получены зависимости, характеризующие поведение дилатирующих и недилатирующих сред между фронтом ударной волны и расширяющейся полостью.

В случае сферической симметрии и при отсутствии теплопроводности уравнение для внутренней энергии сплошной среды имеет вид

$$(1) \quad \rho(\partial e/\partial t + u\partial e/\partial r) = \sigma_r \partial u/\partial r + 2\sigma_\phi u/r,$$

где e — количество внутренней энергии на единицу массы; ρ — плотность среды; u — массовая скорость; σ_r — радиальное напряжение, σ_ϕ — тангенциальное напряжение; t — время; r — радиус, эйлерова координата. Уравнение (1) рассматривается в точках среды, расположенных между полостью $a(t)$ и фронтом ударной волны $R(t)$.

Уравнение дилатансии в предположениях сферической симметрии и $\partial u/\partial r \leqslant 0$ имеет вид

$$\partial u/\partial r + 2u/r = \Lambda(u/r - \partial u/\partial r),$$

где Λ — скорость дилатансии [4]. Условие пластиичности среды за фронтом записывается в виде

$$\sigma_r - \sigma_\phi = k + m(\sigma_r + 2\sigma_\phi),$$

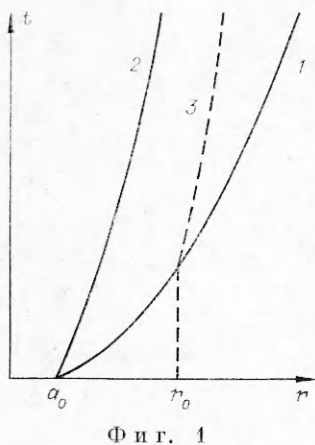
где k и m — известные постоянные. Переходя к лагранжевым координатам (r_0, t) и используя два последних соотношения, уравнение (1) можно записать в виде

$$(2) \quad \frac{\partial e}{\partial t} = \left[(\alpha + n - 2) p - \frac{k\alpha}{3m} \right] \frac{u}{r_0},$$

где $n = (2 - \Lambda)/(1 + \Lambda)$; $\alpha = 6m/(2m + 1)$; $p = -\sigma_r$. Связь между лагранжевыми (r_0, t) и эйлеровыми (r, t) координатами показана на фиг. 1, где кривая 1 описывает движение фронта ударной волны $R(t)$, 2 — движение полости $a(t)$, 3 соответствует изменению со временем эйлеровой координаты r точки среды с лагранжевой координатой $r_0 = \text{const}$; a_0 — начальный радиус полости. Интегрирование уравнения (2) вдоль кривой 3 (фиг. 1) дает

$$(3) \quad e_{\text{п}}(r_0, t) = e(r_0, t) - e_\Phi(r_0) = \int_{t_1(r_0)}^t \left[(\alpha + n - 2) p - \frac{k\alpha}{3m} \right] \frac{u}{r_0} d\tau,$$

где $t_1(r)$ — функция, обратная к функции $R(t)$; $e_{\text{п}}(r_0, t)$ — энергия пластиического деформирования; $e_\Phi(r_0) = e_y(r_0) + e_0$ — энергия на фронте; $e_y(r_0)$ — энергия ударного сжатия; e_0 — внутренняя энергия среды перед фронтом. Таким образом, внутренняя энергия частицы среды с лагранжевой координатой r_0 в момент времени t равна $e_{\text{п}}(r_0, t) + e_y(r_0) + e_0$. Все наз-



Фиг. 1

ванные выше энергии относятся к единице массы.

Энергия ударного сжатия $e_y(r_0)$ определяется обычным образом из законов сохранения массы, импульса и энергии на фронте. В наших обозначениях она имеет вид

$$(4) \quad e_y(r_0) = (\varepsilon_\Phi/\rho_0)[p_0 + \varepsilon_\Phi \rho_0 \dot{R}^2(t_1(r_0))/2],$$

где ρ_0 , p_0 — соответственно плотность и давление в невозмущенной среде; $\varepsilon_\Phi = 1 - \rho_0/\rho_\Phi$ — скачок плотности на фронте; ρ_Φ — плотность на фронте; $\dot{R}(t)$ — скорость фронта.

Для вычисления (3) надо учесть, что

$$\int_{t_1(r_0)}^t \frac{u(r_0, \tau)}{r(r_0, \tau) \rho(r_0, \tau)} d\tau = \begin{cases} (1/\rho - 1/\rho_\Phi)/(2-n), & \text{если } n \neq 2, \\ (1/\rho_\Phi) \ln(r/r_0), & \text{если } n = 2, \end{cases}$$

так как $u(r_0, t) = \partial r(r_0, t)/\partial t$, а $\rho(r_0, t) = \rho_\Phi(r_0/t)^{2-n}$ [3]. Из работы [3] следует, что в функциях $p(r_0, t)$, $r(r_0, t)$ зависимость от времени осуществляется через радиус фронта $R(t)$: $p(r_0, t) = p_1(r_0, R(t))$,

$$(5) \quad r(r_0, t) \equiv r_1(r_0, R(t)) = [(1 - \varepsilon_\Phi)r_0^{n+1} + \varepsilon_\Phi R^{n+1}(t)]^{\frac{1}{n+1}}.$$

После указанной замены переменной в интеграле из формулы (3) для энергии пластического деформирования получается следующее выражение, удобное при численном счете.

$$(6) \quad e_\Pi(r_0, t) = \frac{(\alpha + n - 2) \varepsilon_\Phi}{\rho_\Phi r_0^{2-n}} \int_{r_0}^{R(t)} \frac{p_1(r_0, q)}{r_1^{2n-1}(r_0, q)} q^n dq - \frac{k\alpha}{3m(2-n)} \left(\frac{1}{\rho} - \frac{1}{\rho_\Phi} \right),$$

если среда дилатирует ($n \neq 2$), и

$$(7) \quad e_\Pi(r_0, t) = \frac{\alpha \varepsilon_\Phi}{\rho_\Phi} \int_{r_0}^{R(t)} \frac{p_1(r_0, q)}{r_1^3(r_0, q)} q^2 dq - \frac{k\alpha}{3m\rho_\Phi} \ln \frac{r}{r_0},$$

если среда не дилатирует ($n = 2$).

Кинетическая энергия, отнесенная к единице массы, есть $e_K(r_0, t) = u^2(r_0, t)/2$, где, как известно [3],

$$(8) \quad u(r_0, t) = \varepsilon_\Phi R^n(t) \dot{R}(t)/r^n(r_0, t).$$

Поэтому вся энергия на единицу массы для частицы с лагранжевой координатой r_0 в момент времени t будет $e_\Pi(r_0, t) + e_y(r_0) + e_K(r_0, t) + e_0$. Сумма первых двух членов есть приращение внутренней энергии, а сумма первых трех — приращение всей энергии относительно начальной энергии e_0 невозмущенного состояния. Полная энергия $E_\Pi(t)$, приходящаяся на пластическое деформирование, полная энергия $E_y(t)$, приходящаяся на ударное сжатие, а также полные кинетическая $E_K(t)$ и начальная $E_0(t)$

энергии к моменту времени t соответственно равны

$$E_{\Pi(y, \kappa, 0)}(t) = 4\pi\rho_0 \int_{a_0}^{R(t)} r_0^2 e_{\Pi(y, \kappa, 0)}(r_0, t) dr_0.$$

Окончательные формулы имеют вид

$$(9) \quad E_{\Pi}(t) = \frac{4\pi(\alpha + n - 2)\rho_0\varepsilon_{\Phi}}{\rho_{\Phi}} \int_{a_0}^{R(t)} r_0^n \left\{ \int_{r_0}^{R(t)} \frac{p_1(r_0, q)}{r_1^{2n-1}(r_0, q)} q^n dq \right\} dr_0 - \\ - \frac{4\pi k\alpha}{9m(2-n)} [(1 - \varepsilon_{\Phi})a_0^3 + \varepsilon_{\Phi}R^3(t) - r^3(a_0, t)],$$

если $n \neq 2$, и,

$$(10) \quad E_{\Pi}(t) = \frac{4\pi\rho_0\varepsilon_{\Phi}}{\rho_{\Phi}} \int_{a_0}^{R(t)} r_0^2 \left\{ \int_{r_0}^{R(t)} \frac{p_1(r_0, q)}{r_1^3(r_0, q)} q^2 dq \right\} dr_0 - \\ - \frac{4\pi k\alpha}{9m} \left[\varepsilon_{\Phi} R^3(t) \ln \frac{R(t)}{r(a_0, t)} - \frac{\rho_0}{\rho_{\Phi}} a_0^3 \ln \frac{r(a_0, t)}{a_0} \right],$$

если $n = 2$;

$$(11) \quad E_y(t) = (4/3)\pi\varepsilon_{\Phi}p_0(R^3(t) - a_0^3) + 2\pi\rho_0\varepsilon_{\Phi}^2 \int_0^t R^2(s) \dot{R}^3(s) ds;$$

$$(12) \quad E_{\kappa}(t) = 2\pi\rho_0\varepsilon_{\Phi}^2 R^{2n}(t) \dot{R}^2(t) \int_{a_0}^{R(t)} \frac{r_0^2}{r^{2n}(r_0, t)} dr_0,$$

последний интеграл в случае отсутствия дилатансии берется и при $n = 2$ имеет вид

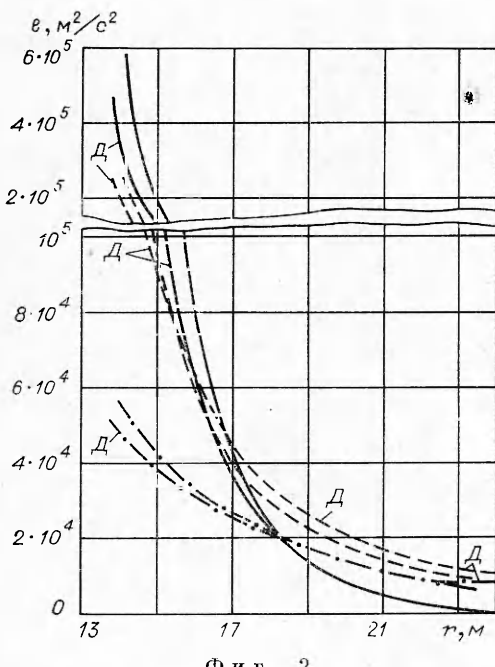
$$(13) \quad E_{\kappa}(t) = 2\pi\rho_0\varepsilon_{\Phi}^2 R^4(t) \dot{R}^2(t) (1/r(a_0, t) - 1/R(t)), \\ E_0(t) = (4/3)\pi\rho_0(R^3(t) - a_0^3)e_0.$$

Значения $R(t)$, $p_1(r_0, R(t))$, необходимые при вычислениях по формулам (4), (6), (7), (9) — (13), определяются с помощью уравнения для $R(t)$ из работы [1].

Полное приращение всей внутренней энергии $E_b(t) = E_{\Pi}(t) + E_y(t)$, а $E(t) = E_b(t) + E_{\kappa}(t)$ есть полное приращение всей энергии и должно равняться работе $A(t)$ продуктов взрыва, совершающей над средой. Равенство $A(t) = E_{\Pi}(t) + E_y(t) + E_{\kappa}(t)$ может быть использовано как объективная проверка правильности вычислений. Для работы $A(t)$ с учетом формул (5), (8) имеем выражение

$$(14) \quad A(t) = 4\pi \int_{a_0}^{r(a_0, t)} p(a_0, \tau) r^2(a_0, \tau) dr(a_0, \tau) = \\ = 4\pi\varepsilon_{\Phi} \int_{a_0}^{R(t)} p_1(a_0, q) [(1 - \varepsilon_{\Phi})a_0^{n+1} + \varepsilon_{\Phi}q^{n+1}]^{\Lambda} q^n dq.$$

Задача о распространении сферически-симметричной ударной волны в пластической среде делается замкнутой, если, кроме законов сохранения, задано изменение давления в полости $p(a_0, t) = p_1(a_0, R(t))$. Предпола-



Фиг. 2

$= 0,25$ кбар; $\rho_0 = 2,5$ г/см³, $a_0 = 7$ м; $\varepsilon_\phi = 0,2$; $k = 0,35$ кг/см²; $m = 0,45$; $\gamma = 1,5$; $\Lambda = 0,14$ или $\Lambda = 0$. Буквой Δ на фиг. 2, 3 отмечены кривые, дающие зависимости с учетом дилатансии ($\Lambda = 0,14$). Сплошные кривые характеризуют энергию пластического деформирования, штриховые — энергию ударного сжатия, штрихпунктирные — кинетическую энергию. Приводимые на фиг. 2 и в таблице результаты относятся к моменту времени $t = 14$ мс. В этот момент времени при наличии дилатансии ($\Lambda = 0,14$) $R = 24$ м, $a = 13,8$ м, $\dot{R} = 636$ м/с, ускорение $\ddot{R} = 30,8$ км/с²; соответствующие цифры без учета разуплотнения ($\Lambda = 0$) будут: $R = 23,4$ м, $a = 14,1$ м, $\dot{R} = 605$ м/с, $\ddot{R} = 29,5$ км/с².

На фиг. 2 даются зависимости внутренних энергий e_p , e_y , e_k от эйлерового радиуса r . Как видно, приращение внутренней энергии на единицу массы $e_p + e_y$ особенно велико вблизи взрывной полости. Учет явления дилатансии крутизну этой зависимости несколько сглаживает.

В таблице приведены значения полных энергий, $|A - E|$ есть абсолютная погрешность вычисления, $100 |A - E|/A$ — относительная погрешность. На фиг. 3 приводится в процентах доля различных видов полной энергии в зависимости от времени, т. е. построены графики функций $100 E_p(t)/E(t)$, $100 E_y(t)/E(t)$, $100 E_k(t)/E(t)$. Расчеты показали, что в указанном промежутке времени доля энергии ударного сжатия примерно постоянна: 40—41% для дилатирующей среды и 35 —

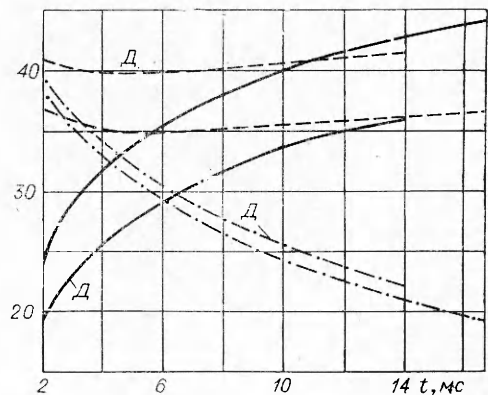
гается, что взрывная полость расширяется адиабатически с постоянной адиабатой γ [2, 3], т. е.

$$p_1(a_0, R(t)) = p_{k0} [a_0/r_1(a_0, R(t))]^{3\gamma},$$

где p_{k0} — начальное давление в полости. Тогда интеграл в формуле (14) берется и для работы продуктов взрыва $A(t)$ имеем выражение

$$A(t) = \begin{cases} \frac{(4/3)\pi a_0^3 p_{k0}}{\gamma - 1} [1 - (r(a_0, t)/a_0)^{3-\gamma}], & \text{если } \gamma \neq 1, \\ 4\pi a_0^3 p_{k0} \ln(r(a_0, t)/a_0), & \text{если } \gamma = 1. \end{cases}$$

На фиг. 2, 3 и в таблице приводятся некоторые результаты вычислений, выполненных при следующих исходных данных: $p_{k0} = 62$ кбар; $p_0 =$



Фиг. 3

Вид полной энергии, Дж	$\Delta=0,14$	$\Delta=0$	Вид полной энергии, Дж	$\Delta=0,14$	$\Delta=0$
$E_{\text{п}}$	$4,03 \cdot 10^{12}$	$4,88 \cdot 10^{12}$	$E = E_{\text{в}} + E_{\text{к}}$	$1,11 \cdot 10^{13}$	$1,14 \cdot 10^{13}$
E_{y}	$4,63 \cdot 10^{12}$	$4,10 \cdot 10^{12}$	A	$1,11 \cdot 10^{13}$	$1,14 \cdot 10^{13}$
$E_{\text{к}}$	$2,46 \cdot 10^{12}$	$2,40 \cdot 10^{12}$	$ A - E $	$4,89 \cdot 10^9$	$6,12 \cdot 10^9$
$E_{\text{в}} = E_{\text{п}} + E_{\text{y}}$	$8,66 \cdot 10^{12}$	$8,98 \cdot 10^{12}$	$100 A - E $	0,04%	0,05%
			A		

37% — для недилатирующей. С увеличением времени полная доля кинетической энергии падает, а полная доля энергии пластического деформирования растет. Учет дилатансии уменьшает долю энергии пластического деформирования.

Поступила 4 XII 1978

ЛИТЕРАТУРА

- Сагомонян А. Я. Рассеяние энергии взрыва в грунтах.— Вестн. МГУ. Сер. матем. механ., 1966, № 5.
- Кошелев Э. А. О диссипации энергии при подземном взрыве.— ПМТФ, 1972, № 5.
- Артышев С. Г., Дунин С. З. Ударные волны в дилатирующих и недилатирующих средах.— ПМТФ, 1978, № 4.
- Николаевский В. П. О связи объемных и сдвиговых пластических деформаций и ударных волнах в мягких грунтах.— Докл. АН СССР, 1967, т. 175, № 5.

УДК 539.374.1

ПЛАСТИЧНОСТЬ ПРИ ПЕРЕМЕННЫХ НАГРУЖЕНИЯХ В ЭЛЕКТРОМАГНИТНЫХ ПОЛЯХ *

B. V. Колокольчиков, B. V. Москвитин, B. L. Сидоров

(Куйбышев, Москва)

В работе [1] предложены основные деформационные уравнения циклических нагрузений и доказаны теоремы циклических нагрузений изотропных пластических материалов. В изотропной пластичности используются также принцип Мазинга [2] и соотношения Р. М. Шнейдеровича [3]. Феноменологическая модель упругого тела, поляризующегося и намагничивающегося без гистерезиса, с учетом гиромагнитных эффектов и конечности деформаций построена в работе [4]. Модели сплошной среды с электромагнитными моментами и с учетом эффектов магнитного гистерезиса, пластических деформаций в рамках теории относительности сформулированы в [5]. В работе [6] на основе вариационного уравнения механики сплошных сред [7] рассматриваются модели магнитоупругих сред с учетом магнитного гистерезиса и пластических деформаций. Возникает также задача, обсуждаемая ниже, о развитии деформационной теории циклических нагрузений для анизотропных ферромагнитных и сегнетоэлектрических материалов.

1. Рассматривается твердое ферромагнитное или сегнетоэлектрическое тело произвольной формы объема V , ограниченное поверхностью S . В недеформирующейся системе координат x_i введем $u_{i(n)}$ — компоненты вектора n -го перемещения и $\varepsilon_{ij(n)}$ — компоненты тензора деформаций при n -м нагружении. Все величины при n -м нагружении отмечаются индексом n .

* Доложено на IV Всесоюзном съезде по теоретической и прикладной механике. Киев, май 1976 г.